

УДК 539.143.43 : 537.611.45

© 1990

## ЯМР $^{19}\text{F}$ В СЛАБОМ ФЕРРОМАГНЕТИКЕ $\text{FeF}_3$ И ОПРЕДЕЛЕНИЕ ЗНАКА ВЕКТОРА ДЗЯЛОШИНСКОГО

A. C. Москвин

В рамках теории наведенных сверхтонких взаимодействий с учетом кристаллической и магнитной структуры рассчитаны частоты ЯМР ядер  $^{19}\text{F}$  в легкоплоскостном слабом ферромагнетике  $\text{FeF}_3$ . Показано, что величины частоты ЯМР  $^{19}\text{F}$  зависят от взаимной ориентации векторов ферро- и антиферромагнетизма в базисной плоскости  $\text{FeF}_3$ , другими словами от знака вектора Дзялошинского. Сравнение расчетных значений частот ЯМР  $^{19}\text{F}$  и их поведения во внешнем магнитном поле с результатами экспериментального исследования ЯМР поликристаллических образцов  $\text{FeF}_3$  впервые позволило сделать однозначный вывод о знаке вектора Дзялошинского для связи катион—анион—катион на примере  $\text{Fe}^{3+}-\text{F}^--\text{Fe}^{3+}$ . Получены значения параметров переноса спиновой плотности  $\text{Fe}^{3+}-\text{F}^-$ , хорошо согласующиеся с данными других авторов, полученными методами ЭПР и ДЭЯР.

Локальное поле на ядре немагнитного аниона  $\text{F}^-$ , индуцированное соседним магнитным ионом  $S$ -типа ( $\text{Fe}^{3+}, \text{Mn}^{2+}, \dots$ ) можно представить как

$$\mathbf{H} = -\frac{1}{\gamma_s} \mathbf{AS} \quad (1)$$

( $\gamma_s$  — гиromагнитное отношение,  $\gamma_s=4.011$  МГц/кГ,  $S$  — спин магнитного иона), где тензор наведенных сверхтонких взаимодействий (СТВ)  $\mathbf{A}$  включает два основных вклада [1]: 1) изотропный контактный с  $A_{ij}=A_s \delta_{ij}$ ,

$$A_s = \frac{f_s}{2S} A_s^{(0)}, \quad A_s^{(0)} = \frac{16}{3} \pi \beta \gamma_s |\varphi_{2s}(0)|^2, \quad (2)$$

2) анизотропный

$$A_{ij} = A_p (3n_i n_j - \delta_{ij}), \quad (3)$$

где  $\mathbf{n}$  — единичный вектор в направлении связи ядро—магнитный ион; параметр  $A_p$  включает ковалентный и дипольный вклады

$$A_p = A_p^{\text{коэ}} + A_d, \quad (4)$$

$$A_p^{\text{коэ}} = \frac{(f_\sigma - f_\pi)}{2S} A_p^{(0)}, \quad A_p^{(0)} = \frac{4}{5} \beta \gamma_s \left\langle \frac{1}{r^3} \right\rangle_{2p}, \quad A_d = \frac{g_s \beta \gamma_s}{R^3}. \quad (5)$$

В формулах (2), (5)  $f_s, \sigma, \pi$  — параметры переноса спиновой плотности магнитный ион—анион по соответствующей  $s$ -,  $\sigma$ -,  $\pi$ -связи;  $|\varphi_{2s}(0)|^2$  — плотность вероятности обнаружения  $2s$ -электрона аниона на ядре;  $\langle 1/r^3 \rangle_{2p}$  — радиальное среднее.

Наведенные СТВ для ядер  $^{19}\text{F}$  довольно широко исследованы методами ЯМР, ЭПР и ДЭЯР [1]. Для ядер  $^{19}\text{F}$  характерны большие значения  $A_s^{(0)}$  и  $A_p^{(0)}$ :  $A_s^{(0)}=4.54 \cdot 10^4$ ,  $A_p^{(0)}=1.28 \cdot 10^3$  МГц [1], что вместе со 100%-ным содержанием изотопа  $^{19}\text{F}$ , малой величиной ядерного спина  $I=1/2$  и большой величиной гиromагнитного отношения делает изучение наведенных СТВ достаточно простым и доступным.

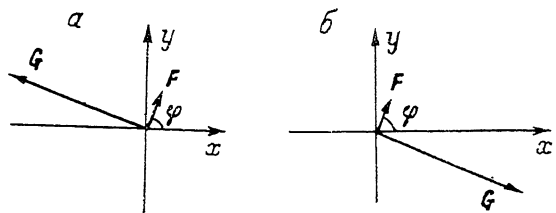
Ниже мы рассмотрим особенности ЯМР  $^{19}\text{F}$  в ромбоэдрическом слабом ферромагнетике  $\text{FeF}_3$  и покажем, что его изучение, кроме информации о наведенных СТВ  $^{19}\text{F}-\text{Fe}^{3+}$ , дает уникальную возможность исследования фундаментального вопроса о знаке вектора Дзялошинского.

## 1. Наведенные СТВ $^{19}\text{F}-\text{Fe}^{3+}$ и спектр ЯМР $^{19}\text{F}$ в $\text{FeF}_3$

Ионы  $\text{F}^-$  в элементарной ячейке  $\text{FeF}_3$  занимают шесть позиций [2]. В тригональном базисе — это —  $-(x, 1/2 - x, 1/4)$ ,  $\pm(1/2 - x, 1/4, x)$ ,  $\pm(1/4, x, 1/2 - x)$ , что соответствует позициям 1)  $\pm(3p(x - 1/4), \sqrt{3}p(1/4 - x), c/4)$ , 2)  $\pm(3p(1/4 - x), \sqrt{3}p(1/4 - x), c/4)$ , 3)  $\pm(0, 2\sqrt{3}p(x - 1/4), c/4)$ . В ортогональном базисе, выбранном так, чтобы ось  $z$  была направлена вдоль  $C_3$ , а ось  $x$  — вдоль оси второго порядка. Каждый ион  $\text{F}^-$  окружен двумя ионами  $\text{Fe}^{3+}$  из различных магнитных подрешеток.

Рис. 1. Возможные варианты взаимной ориентации векторов ферромагнетизма  $\text{F}$  и антиферромагнетизма  $\text{G}$  в базисной плоскости  $\text{FeF}_3$ .

Указанны соответствующие им знаки скалярного параметра  $d(0)$  — знаки вектора Дзялошинского.



Для характеристики магнитной структуры  $\text{FeF}_3$  введем базисные векторы ферромагнетизма  $\text{F}$  и антиферромагнетизма  $\text{G}$

$$2SF = S_1 + S_2, \quad 2SG = S_1 - S_2, \quad \text{F}^2 + \text{G}^2 = 1, \quad (6)$$

где ионы  $\text{Fe}_1^{3+}$  и  $\text{Fe}_2^{3+}$  занимают позиции типа  $(1/2, 1/2, 1/2)$  и  $(0, 0, 0)$  соответственно.<sup>1</sup>  $\text{FeF}_3$  является легкоплоскостным слабым ферромагнетиком, для которого векторы  $\text{F}$  и  $\text{G}$  лежат в базисной плоскости  $(111)$ , причем  $\text{F} \perp \text{G}$ .

При выбранной в (6) нормировке величина  $\text{F}$  численно равна углу скоса магнитных подрешеток, который можно найти, используя известные для  $\text{FeF}_3$  значения поля Дзялошинского  $H_D = 48.8$  кЭ и обменного поля  $H_E = 4.4 \cdot 10^3$  кЭ [3]

$$F = H_D / 2H_E \approx 5.5 \cdot 10^{-3}. \quad (7)$$

Два возможных варианта взаимной ориентации векторов  $\text{F}$  и  $\text{G}$  в базисной плоскости представлены на рис. 1, *a*, *b*; ниже будем называть их условно «левой» и «правой» соответственно. Вопрос о том, какой из вариантов реализуется в действительности, однозначно связан с вопросом о знаке вектора Дзялошинского.

Расчет локального поля на ядрах  $^{19}\text{F}$  не представляет принципиальных трудностей. Вклад изотропных и анизотропных наведенных СТВ при этом удобно представить в виде

$$\Pi(\text{iso}) = -\frac{2S}{\gamma_n} A_s \text{F} = a_E \text{F}, \quad \Pi(\text{aniso}) = \hat{a} \text{G}, \quad \hat{a} = -\frac{2S}{\gamma_n} (A(1) - A(2)). \quad (8)$$

Параметры  $A_s$  и  $A_p$ , необходимые для расчета константы  $a_E$  и тензора анизотропии локального поля  $\hat{a}$ , т. е. для расчета «ферро- и антиферромагнитного» вкладов в  $H$ , можно взять из литературных данных для пары  $^{19}\text{F}-\text{Fe}^{3+}$ . Так, для  $\text{KMgF}_3 : \text{Fe}^{3+}$  ( $R_{\text{MgF}} = 1.987$  Å) [4]  $A_s = +72$ ,  $A_p = +18$  МГц. Более близкая к  $\text{FeF}_3$  ситуация имеет место в перовските  $\text{K}_2\text{NaFeF}_6$  ( $R_{\text{FeF}} = 1.91$  Å). По данным [5], в  $\text{K}_2\text{NaAlF}_6 : \text{Fe}^{3+}$   $A_s = +70.17$ ,  $A_p = +20.34$  МГц.

<sup>1</sup> Естественно, что перенумерация подрешеток ионов  $\text{Fe}^{3+}$  приводит к смене знака вектора  $\text{G}$ .

Таким образом, ожидаемое для  $\text{FeF}_3$  значение  $|a_F|$  составляет  $|a_F| \sim 350 \div 360 \text{ МГц}$  ( $a_F < 0$ ) и  $H(\text{iso}) \approx 2 \text{ МГц}$  ( $\approx 0.5 \text{ кЭ}$ ).

Расчет вклада анизотропных наведенных СТВ в тензор анизотропии локального поля  $\hat{a}$  проведем в приближении ближайших соседей.<sup>2</sup> Расчетные значения компонент тензора  $\hat{a}$  для различных ядер  $^{19}\text{F}$  приведены в таблице. Учитывая, что для пар  $^{19}\text{F}-\text{Fe}^{3+} A_p \approx 20 \text{ МГц}$  [4, 5], мы видим, что анизотропный вклад в локальное поле существенно превышает изотропный.

Значения компонент тензора анизотропии локального поля на ядрах  $^{19}\text{F}$  в позициях 1, 2, 3 в  $\text{FeF}_3$

$a_{ij}$	$^{19}\text{F}_1$	$^{19}\text{F}_2$	$^{19}\text{F}_3$
$a_{xx}$	0	$\frac{45p^2}{l^2} \left( x + \frac{1}{4} \right) A_p =$ $= 2.53 A_p$	$-\frac{45p^2}{l^2} \left( x + \frac{1}{4} \right) A_p =$ $= -2.53 A_p$
$a_{yy}$	0	$-\frac{45p^2}{l^2} \left( x + \frac{1}{4} \right) A_p =$ $= -2.53 A_p$	$\frac{45p^2}{l^2} \left( x + \frac{1}{4} \right) A_p = 2.53 A_p$
$a_{zz}$	0	0	0
$a_{xy}$	$\frac{30\sqrt{3}}{l^2} p^2 \left( x + \frac{1}{4} \right) A_p =$ $= 2.92 A_p$	$-\frac{15\sqrt{3}}{l^2} p^2 \left( x + \frac{1}{4} \right) A_p =$ $= -1.46 A_p$	$-\frac{15\sqrt{3}}{l^2} p^2 \left( x + \frac{1}{4} \right) A_p =$ $= -1.46 A_p$
$a_{xz}$	0	$\frac{15pc}{4l^2} \left( x + \frac{1}{4} \right) A_p =$ $= 1.89 A_p$	$-\frac{15pc}{4l^2} \left( x + \frac{1}{4} \right) A_p =$ $= -1.89 A_p$
$a_{yz}$	$-\frac{5\sqrt{3}}{2l^2} pc \left( x + \frac{1}{4} \right) A_p =$ $= 2.18 A_p$	$\frac{5\sqrt{3}}{4l^2} pc \left( x + \frac{1}{4} \right) A_p =$ $= 1.09 A_p$	$\frac{5\sqrt{3}}{4l^2} pc \left( x + \frac{1}{4} \right) A_p =$ $= 1.09 A_p$

$$a = 5.333 \text{ \AA}, \alpha = 57.72^\circ, c = 13.284 \text{ \AA}, p = (a/\sqrt{3}) \sin \alpha = 1.486 \text{ \AA}, l = 1.914 \text{ \AA}, x = -0.157 [\text{\AA}],$$

В отсутствие внешнего магнитного поля выражения для частот ЯМР ядер  $^{19}\text{F}$  в позициях 1, 2, 3 можно представить соответственно как

$$\nu^2 = \gamma_n^2 [(\hat{a}\mathbf{G})^2 + (a_F\mathbf{F})^2 + 2a_F\mathbf{F}\hat{a}\mathbf{G}] = \\ = \gamma_n^2 (a_{xy}^2 + a_F^2 F^2 \pm 2a_F a_{xy} F) + \gamma_n^2 (a_{yz}^2 \mp 4a_F a_{xy} F) \begin{cases} \cos^2 \varphi, \\ \cos^2 (\varphi + 60^\circ), \\ \cos^2 (\varphi - 60^\circ), \end{cases} \quad (9)$$

где компоненты  $a_{xy}$ ,  $a_{yz}$  берутся для ядра  $^{19}\text{F}$  в позиции 1;  $\varphi$  — угол ориентации вектора  $\mathbf{F}$  в базисной плоскости. Особо отметим зависимость частот ЯМР от взаимной ориентации векторов  $\mathbf{F}$  и  $\mathbf{G}$ : верхние знаки в (9) соответствуют «правой» ориентации  $\mathbf{F}$  и  $\mathbf{G}$  (рис. 1, б), нижние — «левой» (рис. 1, а).

Формулами (9) и данными таблицы частоты ЯМР  $^{19}\text{F}$  в  $\text{FeF}_3$  однозначно связываются с параметрами кристаллической ( $p$ ,  $c$ ,  $x$ ,  $l$ ) [2, 6] и магнитной ( $F$ ,  $\varphi$ ,  $\pm$ ) структуры.

Для минимальной и максимальной частот ЯМР имеем

$$\nu_{\min}^\pm = \gamma_n [a_{xy}^2 + a_F^2 F^2 \pm 2a_F a_{xy} F]^{1/2}, \quad \nu_{\max}^\pm = \gamma_n [a_{xy}^2 + a_{yz}^2 + a_F^2 F^2 \mp 2a_F a_{xy} F]^{1/2}. \quad (10)$$

<sup>2</sup> Численный расчет магнитодипольного вклада в наведенные СТВ  $^{19}\text{F}-\text{Fe}^{3+}$  показывает, что с точностью порядка 1 % он обусловлен ближайшими к  $^{19}\text{F}$  ионами железа.

С учетом малости вклада изотропных СТВ, знаков  $a_F$  и  $a_{xy}$  это дает

$$\nu_{\min}^{\pm} \simeq \gamma_n (|a_{xy}| \mp |a_F F|) = 2.92 A_p \mp |a_F F|, \\ \nu_{\max}^{\pm} \simeq \gamma_n \left( [a_{xy}^2 + a_{yz}^2]^{1/2} \pm \frac{|a_{xy}|}{[a_{xy}^2 + a_{yz}^2]^{1/2}} |a_F F| \right) = 3.65 A_p \pm 0.8 |a_F F|. \quad (11)$$

Таким образом,

$$(\nu_{\max} - \nu_{\min})^{\pm} = 0.68 A_p \pm 1.8 |a_F F|. \quad (12)$$

Используя значения  $A_s$  и  $A_p$ , характерные для связей  $^{19}\text{F}-\text{Fe}^{3+}$  [5], найдем

$$\nu_{\min}^+ = 57.6, \quad \nu_{\max}^+ = 75.7, \quad (\nu_{\max} - \nu_{\min})^+ = 18.1 \text{ МГц} \quad (13)$$

при «правой» ориентации  $\mathbf{F}$  и  $\mathbf{G}$  (рис. 1, б) и

$$\nu_{\min}^- = 61.4, \quad \nu_{\max}^- = 72.7, \quad (\nu_{\max} - \nu_{\min})^- = 11.3 \text{ МГц} \quad (14)$$

при «левой» ориентации  $\mathbf{F}$  и  $\mathbf{G}$  (рис. 1, а).

Спектр ЯМР  $^{19}\text{F}$ , характерный для монокристаллических образцов  $\text{FeF}_3$ , представлен на рис. 2.

Для поликристаллов  $\text{FeF}_3$  ситуация усложняется. Спектр ЯМР будет представлять собой широкую полосу с предельными частотами  $\nu_{\min}$  и  $\nu_{\max}$ . В приближении равновероятного распределения всевозможных значений угла  $\varphi$  ориентации вектора ферромагнетизма вид спектра не зависит от текстуры образца. В модели «δ-образной формы линии» [7] он представлен на рис. 3, а.

К сожалению, в литературе имеются данные исследования ЯМР  $^{19}\text{F}$  только в поликристаллических образцах  $\text{FeF}_3$  [8, 9]. В отсутствие внешнего магнитного поля спектр представляет довольно широкую несим-

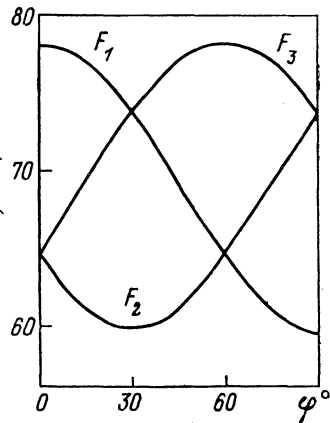


Рис. 2. Расчетные значения частот ЯМР для различных позиций ядер  $^{19}\text{F}$  в монокристаллах  $\text{FeF}_3$  при  $A_p = 21$ ,  $A_s = 70$  МГц.

метричную полосу (рис. 3) с предельными частотами  $\nu_{<} \approx 60$  и  $\nu_{>} \approx 80$  МГц (4.2 К). Интересно отметить, что спектры ЯМР, полученные разными авторами [8, 9] для различных образцов, представляющих собой набор произвольно ориентированных небольших монокристаллов, практически не имеют ничего общего (рис. 3), кроме удивительно совпадающих значений предельных частот  $\nu_{<}$  и  $\nu_{>}$ . Естественно, что  $\nu_{<}$ ,  $\nu_{>}$  при этом должны совпадать с  $\nu_{\min}$  и  $\nu_{\max}$ . Индивидуальные особенности спектров [8, 9] свидетельствуют скорее всего о заметном проявлении магнитной анизотропии в базисной плоскости, хотя величина поля анизотропии при комнатной температуре, согласно [10], не превышает значений порядка 0.01 Э.

Точность определения предельных частот  $\nu_{\min}$  и  $\nu_{\max}$  из данных ЯМР в поликристаллах относительно невелика, однако сравнивая экспериментальные спектры [8, 9] (рис. 3) и расчетные значения  $\nu_{\min}$  и  $\nu_{\max}$  (11)–(14), можно с уверенностью сделать следующий однозначный вывод: если при «правой» ориентации векторов  $\mathbf{F}$  и  $\mathbf{G}$  (рис. 1, б) экспериментальные значения предельных частот и ширины полосы спектра ЯМР уже достаточно хорошо описываются при использовании известных из литературы значений  $A_s$  и  $A_p$  для связи  $^{19}\text{F}-\text{Fe}^{3+}$  (см. (13)), то при «левой» ориентации  $\mathbf{F}$  и  $\mathbf{G}$  (рис. 1, а) объяснить экспериментальные результаты работ [8, 9] не удается ни при каких разумных значениях параметров  $A_s$  и  $A_p$ .

Сравнение расчетных значений  $v_{\min}$  и  $v_{\max}$  (1)–(13) с экспериментом [8, 9] (рис. 3, *a*) показывает, что реальное значение параметра  $A_p$  для связи  $^{19}\text{F}-\text{Fe}^{3+}$  в  $\text{FeF}_3$  немногим больше, чем в  $\text{K}_2\text{NaAlF}_6$ :  $\text{Fe}^{3+}$  [5] или в  $\text{KMgF}_3$ :  $\text{Fe}^{3+}$  [4].<sup>3</sup>

На рис. 3, *b*, *c* вертикальными сплошными прямыми отмечены положения  $v_{\min}^+ = 59.5$  и  $v_{\max}^+ = 78.1$  МГц, рассчитанные, согласно (11), при «правой» ориентации  $\mathbf{F}$  и  $\mathbf{G}$  и значениях  $A_p = 21$  МГц,  $a_F = -1.9$  МГц ( $A_s = 70$  МГц); вертикальные штриховые прямые на рис. 3, *b* при этом соответствуют положениям  $v_{\min}^- = 63.3$ ,  $v_{\max}^- = 75.0$  МГц для «левой» ориентации  $\mathbf{F}$  и  $\mathbf{G}$ .

Таким образом, анализ экспериментальных данных работ [8, 9] позволяет сделать однозначный выбор между двумя вариантами взаимной ориентации векторов ферро- и антиферромагнетизма в пользу «правой» ориентации (рис. 1, *b*).

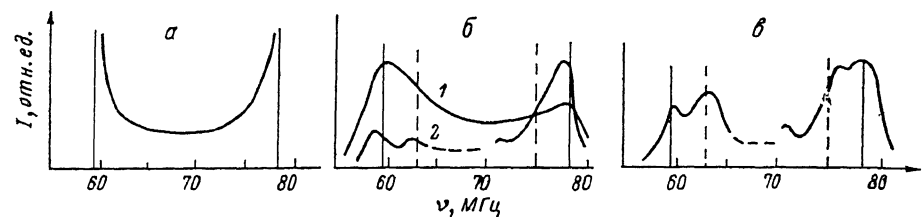


Рис. 3. Спектр ЯМР  $^{19}\text{F}$  в поликристаллах  $\text{FeF}_3$ .

*a* — расчетный спектр ЯМР в модели «δ-образной формы линии» в пренебрежении магнитной анизотропией в базисной плоскости; *b*, *c* — экспериментальные спектры ЯМР при 77 (*b*) и 4.2 К (*c*). 1 — [6], 2, *c* — [5]

Независимым подтверждением этого вывода являются результаты экспериментального исследования поведения спектра ЯМР  $^{19}\text{F}$  в  $\text{FeF}_3$  во внешнем магнитном поле [8, 9], согласно которым спектр при этом уширяется, причем максимальная «скорость» сдвига предельных частот достигает величины, численно равной гиромагнитному отношению  $\gamma_n$  [8]. В поле  $H_{\text{ext}}$ , ориентация которого относительно кристаллографических осей  $xyz$  определяется углами  $\Theta$  и  $\Phi$ , угол ориентации вектора  $\mathbf{F}$  равен  $\varphi = (\Phi + \pi)$ ,<sup>4</sup> так что для производной  $\partial v / \partial H_{\text{ext}}$  для  $^{19}\text{F}$  в позиции 1 в пренебрежении относительно слабыми изотропными СТВ получаем

$$\frac{\partial v^\pm}{\partial H_{\text{ext}}} = \pm \frac{\gamma_n}{v} (a_{xy} \sin \theta \cos 2\varphi - a_{yz} \cos \theta \cos \varphi). \quad (15)$$

При  $\varphi = \pi/2$  имеем

$$\frac{\partial v_{\min}^\pm}{\partial H_{\text{ext}}} = \mp \gamma_n \frac{a_{xy}}{v_{\min}} \sin \theta = \mp \gamma_n \sin \theta, \quad (16)$$

причем максимальное значение  $|\partial v_{\min} / \partial H_{\text{ext}}|$  просто совпадает с ядерным гиромагнитным отношением

$$|\partial v_{\min} / \partial H_{\text{ext}}|_{\Theta=\pi/2} = \gamma_n.$$

При  $\varphi = 0$  имеем

$$\frac{\partial v_{\max}^\pm}{\partial H_{\text{ext}}} = \pm \frac{\gamma_n}{v_{\max}} (a_{xy} \sin \theta - a_{yz} \cos \theta). \quad (17)$$

Максимум  $|\partial v_{\max} / \partial H_{\text{ext}}|$  имеем при  $\tan \Theta = -a_{xy}/a_{yz}$  ( $\Theta_0 \approx 53^\circ$ ), причем он просто совпадает с гиромагнитным отношением  $|\partial v_{\max} / \partial H_{\text{ext}}|_{\Theta_0} = \gamma_n$ .

<sup>3</sup> Параметры  $A_s$  и  $A_p$ , используемые для интерпретации спектров ЯМР, фактически имеют температурную зависимость  $A_s, A_p \sim \langle S \rangle$ , совпадающую с температурной зависимостью магнитного момента подрешетки. С данными ЭПР и ДЭЯР [4, 5] необходимо сравнивать значения  $A_s, A_p$ , полученные при  $T \rightarrow 0$  К.

<sup>4</sup> Спин и магнитный момент иона  $\text{Fe}^{3+}$  антипараллельны.

Для полевой зависимости ширины спектра ЯМР  $^{19}\text{F}$  в нашем приближении получим

$$\frac{\partial (\nu_{\max} - \nu_{\min})^{\pm}}{\partial H_{\text{ext}}} = \pm \gamma_{\text{e}} \sqrt{\frac{2(\nu_{\max} + \nu_{\min})}{\nu_{\max}}} \sin(\theta + \theta'),$$

причем  $\sin \theta' = \sqrt{(\nu_{\max} - \nu_{\min})/2\nu_{\max}} \approx 0.305$ , т. е.  $\theta' \approx 18^\circ$ .

При «правой» ориентации векторов F и G спектр ЯМР  $^{19}\text{F}$  в  $\text{FeF}_3$  будет уширяться при  $0^\circ \leq \theta \leq 162^\circ$  и сужаться для направлений внешнего магнитного поля в очень узком интервале  $162^\circ \leq \theta \leq 180^\circ$ . При «левой» ориентации векторов F и G ситуация будет обратной.

Таким образом, для поликристаллических образцов  $\text{FeF}_3$  следует ожидать уширения спектра ЯМР  $^{19}\text{F}$  в относительно небольшом внешнем магнитном поле при «правой» ориентации векторов F и G и сужения при «левой» ориентации. Ценность этого вывода состоит в том, что он носит качественный характер и практически не зависит от величины и знака изотропного вклада ( $a_F F$ ) в локальное поле.

Экспериментальные результаты работ [8, 9] свидетельствуют об уширении спектра ЯМР  $^{19}\text{F}$  в небольших магнитных полях, а значит, подтверждают сделанный нами ранее вывод в пользу «правой» ориентации векторов ферро- и антиферромагнетизма в  $\text{FeF}_3$  (рис. 1, б).

Использованные нами для описания экспериментальных спектров ЯМР значения параметров  $A_p$  и  $a_{FF}$  позволяют оценить величины параметров переноса спиновой плотности для связи  $\text{Fe}^3 - \text{F}^-$  в  $\text{FeF}_3$

$$f_s = |a_F|/A_s^{(0)} \approx 0.8\%, \quad (f_{\sigma} - f_{\pi}) = 2S(A_p - A_d)/A_p^{(0)} \approx 4.0\%,$$

где мы использовали значение  $A_d = +10.6$  МГц ( $R_{\text{FeF}} = 1.914 \text{ \AA}$  [6]). Эти величины хорошо согласуются с имеющимися в литературе [4-6]. Используя найденное для  $\text{FeF}_3$  в работе [6] значение величины  $f_s + f_{\sigma} + 2f_{\pi} = 6.2\%$ , получим  $f_s = 4.5\%$ ,  $f_{\pi} = 0.5\%$ .

Кстати, несмотря на невысокую точность определения  $\nu_{\max}$  и  $\nu_{\min}$ , а значит, и  $A_p$ ,  $A_s$  из данных ЯМР  $^{19}\text{F}$  в поликристаллах  $\text{FeF}_3$ , относительная ошибка определения параметров  $f_s$ ,  $f_{\sigma}$ ,  $f_{\pi}$  соответствует при этом стандартной ( $\sim 10\%$  [6]). Для получения более точных значений параметров  $f_s$ ,  $f_{\sigma}$ ,  $f_{\pi}$  нужны исследования ЯМР  $^{19}\text{F}$  на монокристаллических образцах  $\text{FeF}_3$ .

Отметим, что параметры переноса спиновой плотности  $f_s$ ,  $f_{\sigma}$ ,  $f_{\pi}$ , полученные с помощью ядерных резонансных методов являются модельными. В случае  $\text{F}^-$ , как правило, не учитывается вклад  $1s$ -электронов в  $A_s$ ,  $s p$ -гибридизация при отсутствии центра инверсии на ионе  $\text{F}^-$ , вклад возбужденных состояний [1], поэтому использование модельных параметров  $f_s$ ,  $f_{\sigma}$ ,  $f_{\pi}$  в различных расчетах требует известной осторожности.

## 2. ЯМР ядер $^{19}\text{F}$ в $\text{FeF}_3$ и проблема знака вектора Дзялошинского

Слабоферромагнитная структура ромбоэдрических слабых ферромагнетиков  $\text{FeF}_3$ ,  $\text{FeBO}_3$ ,  $\alpha\text{-Fe}_2\text{O}_3$ , ..., в частности относительная величина и взаимная ориентация векторов ферро- и антиферромагнетизма, определяется антисимметричным обменом Дзялошинского—Мория [11, 12]

$$V_{ss} = \sum_{ij} d_{ij} [\mathbf{s}_i \times \mathbf{s}_j], \quad (18)$$

где  $d_{ij}$  — вектор Дзялошинского, который для сверхобменной связи  $\text{Fe}^{3+} - \text{F}^- - \text{Fe}^{3+}$  может быть представлен в виде [13, 14]

$$d_{ij} = d(\theta) [\mathbf{r}_i \times \mathbf{r}_j], \quad d(\theta) = d_1 + d_2 \cos \theta, \quad (19)$$

где  $\mathbf{r}_i$ ,  $\mathbf{r}_j$  — единичные векторы в направлении связей катион—анион  $\text{Fe}^{3+} - \text{F}^-$  и  $\text{Fe}^{3+} - \text{F}^-$ . Знак скалярного параметра  $d(\theta)$  можно считать и

знаком вектора Дзялошинского [13, 14]. Естественно, что знак  $d(\theta)$  не зависит от произвола в нумерации ионов и подрешеток.

Переходя от векторов спинов  $S_x$ ,  $S_y$  к базисным векторам ферро- и антиферромагнетизма, представим  $V_{ac}$  (в расчете на один ион) как

$$V_{ac} = -2S^2 d_{12}^z [F \times G]_z = -2S^2 d_{12}^z (F_x G_y - F_y G_x), \quad (20)$$

где вектор  $d_{12}$  определен для соседних ионов  $\text{Fe}^{3+}$ , занимающих позиции типа 1:  $(1/2, 1/2, 1/2)$  и типа 2:  $(0, 0, 0)$ . С учетом конкретной кристаллической структуры найдем

$$d_{12}^z = -\frac{4\sqrt{3}}{l^2} p^2 \left( x + \frac{1}{4} \right) d(\theta) = -0.39 d(\theta), \quad (21)$$

так что

$$V_{ac} = +0.78 S^2 d(\theta) (F_x G_y - F_y G_x). \quad (22)$$

Ясно, что при  $d(\theta) > 0$ , т. е. при положительном знаке вектора Дзялошинского, взаимная ориентация векторов  $F$  и  $G$  соответствует рис. 1, б, а при  $d(\theta) < 0$ , т. е. при отрицательном знаке вектора Дзялошинского, — рис. 1, а.

Исследование спектра ЯМР  $^{19}\text{F}$  в  $\text{FeF}_3$  позволяет сделать однозначный выбор в пользу «правой» ориентации векторов  $F$  и  $G$  (рис. 1, б); следовательно, мы можем сделать и однозначный вывод о положительном знаке вектора Дзялошинского в цепочке  $\text{Fe}^{3+}-\text{F}^{-}-\text{Fe}^{3+}$  в  $\text{FeF}_3$  ( $d(\theta) > 0$ ).

Для наглядной иллюстрации развитых представлений о связи величины и направления локального поля на ядрах  $^{19}\text{F}$  со знаком вектора Дзялошинского на рис. 4 представлены спиновые конфигурации цепочки сверхобменно-связанных ионов  $\text{Fe}^{3+}$  при различных знаках параметра  $d(\theta)$  (а), соответствующие варианты взаимной ориентации векторов  $F$  и  $G$  (б), значения компонент локального поля на ядрах  $^{19}\text{F}$  в позициях типа 1 при  $F \parallel Y$  ( $\varphi = \pi/2$ ) (в). Рис. 4, г наглядно показывает различие величины и направления локального поля при различном знаке  $d(\theta)$ , связанное с разным при этом знаком «ферро- и антиферромагнитного» (изотропного и анизотропного) вкладов. Включение внешнего магнитного поля в зависимости от знака  $d(\theta)$  приводит либо к уменьшению  $H_{loc}$  ( $d(\theta) > 0$ ), либо к увеличению  $H_{loc}$  ( $d(\theta) < 0$ ). Рассмотренный нами случай соответствует минимальной частоте ЯМР  $^{19}\text{F}$  в  $\text{FeF}_3$ .

Обратим внимание, что при перенумерации подрешеток  $G \rightarrow -G$ ,  $a_{yx} \rightarrow -a_{yx}$  и значения компонент локального поля не изменяются.

Для оценки величины параметра  $d(\theta)$  можно воспользоваться известным значением поля Дзялошинского  $H_D$  [3]

$$H_D = \frac{6S}{g\beta} |d_{12}^z| = \frac{6S}{g\beta} 0.39 |d(\theta)| = 48.8 \text{ кЭ}, \quad (23)$$

откуда  $|d(\theta)| \approx 0.8 \text{ см}^{-1}$ . Для сравнения приведем значение параметра  $|d(\theta)|$  для связи  $\text{Fe}^{3+}-\text{O}^{2-}-\text{Fe}^{3+}$  в  $\text{YFeO}_3$ :  $|d(\theta)| \approx 2.3 \text{ см}^{-1}$ , также получаемое из выражения для связи  $H_D$  и  $d(\theta)$ , характерной для ортоферритов [14]

$$H_D = \frac{S}{g\beta} (x_1 + 2z_2) \frac{ac}{l^2} |d(\theta)| = 140 \text{ кЭ}, \quad (24)$$

где  $x_1$ ,  $z_2$  — кислородные параметры;  $a$ ,  $c$  — параметры решетки;  $l$  — средняя длина связи  $\text{Fe}-\text{O}$ .

Экспериментальное определение знака вектора Дзялошинского создает новые возможности для дальнейшего развития микроскопической теории антисимметричного обмена.

В модели, основанной на учете обычно основного «кинетического» вклада в сверхобменное взаимодействие, величины  $d_1$  и  $d_2$  положительны  $d_1 > 0$ ,  $d_2 > 0$  [14], так что условие  $d(\theta) > 0$  при угле связи  $\text{Fe}-\text{F}-\text{Fe}$  в  $\text{FeF}_3$ ,  $\theta = 153^\circ$  [2] реально может быть выполнено только при  $d_1 \geq d_2$ ,

что в соответствии с модельными представлениями [14] свидетельствует о важной роли вклада  $2s$ -электронов  $F^-$  в сверхобменное взаимодействие  $Fe^{3+}-F^- - Fe^{3+}$ .

Определение знака вектора Дзялошинского имеет не только чисто научный интерес. Решение этой задачи позволит исключить неопределенность в значениях величин, определяющих различные эффекты в слабых ферромагнетиках, линейные по вектору антиферромагнетизма, в частности  $f-d$ -обмен в редкоземельных ортоферритах и ортохромитах [15], так называемый «антиферромагнитный» вклад в эффект Фарадея [16], и т. д.

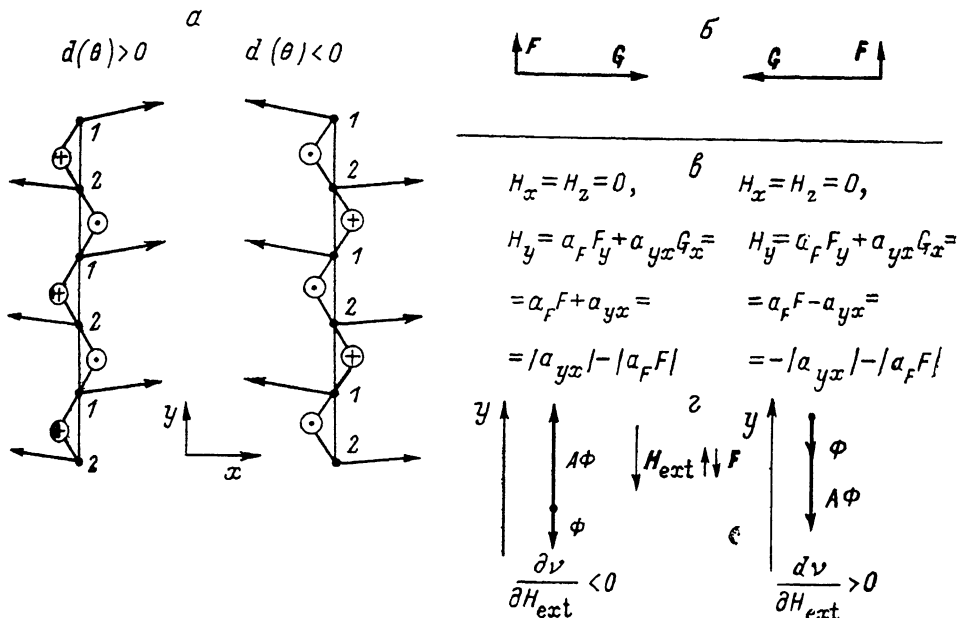


Рис. 4.

а — спиновые конфигурации для цепочки ионов  $Fe^{3+}$ , соответствующие минимуму энергии обмена и взаимодействия Дзялошинского—Мория при различном знаке вектора Дзялошинского. Представлена проекция цепочки  $Fe-F-Fe-F\dots$  на базисную плоскость  $xy$ . Большими кружками отмечены промежуточные анионы  $F^-$ . Знаки в кружках обозначают направление  $z$ -компоненты вектора Дзялошинского для соответствующей пары ионов  $Fe^{3+}$ ; б — взаимная ориентация векторов ферро- и антиферромагнетизма; в — значения компонент локального поля на ядрах  $^{19}F$  в позициях типа 1; г — взаимная ориентация ферро( $\alpha_F F$ , короткие стрелки)- и антиферромагнитного ( $\delta G$ , длинные стрелки) вкладов в локальное поле на ядрах  $^{19}F$  в позициях типа 1. Указаны также ориентации внешнего магнитного поля и характер изменения частоты ЯМР во внешнем поле (частота ЯМР при этом соответствует  $\nu_{min}$ ).

Возможность различного знака вектора Дзялошинского в парах различных ионов лежит в основе объяснения аномальных магнитных свойств нового класса магнетиков — слабых ферримагнетиков [17].

Отметим, что знак вектора Дзялошинского в слабых ферромагнетиках определяет взаимную ориентацию векторов ферро- и антиферромагнетизма  $F$  и  $G$  только в плоскости, перпендикулярной  $d$ , не имея никакого отношения к знаку «продольной» компоненты вектора антиферромагнетизма. В связи с этим отметим ряд работ [18–20], авторы которых показали, что в некоторых экспериментах (эффект Мессбауэра в  $\alpha-Fe_2O_3$  [18], измерение линейной магнитострикции в  $DyFeO_3$  [19], эксперименты по динамике доменных границ [20]) можно установить знак скалярного произведения  $(d \cdot G)$ , т. е. знак «продольной» компоненты вектора антиферромагнетизма. Не имея прямого отношения к проблеме определения знака вектора Дзялошинского, этот факт может служить критерием различия доменов в антиферромагнитной фазе слабых ферромагнетиков.

В заключение отметим, что по аналогии с  $FeF_3$  могут быть исследованы другие слабые ферромагнетики. В основном это окислы, что говорит

о необходимости исследования ЯМР ядер  $^{17}\text{O}$ . В чисто экспериментальном плане это очень сложная задача (малая распространенность изотопа, малая величина гиromагнитного отношения, большое значение спина ядра), причем во всех случаях для получения более надежной информации о знаке вектора Дзялошинского нужны ЯМР-исследования монокристаллов.

Автор выражает признательность В. И. Ожогину, А. В. Залесскому, В. Н. Милову за плодотворные дискуссии, М. А. Бигуре за помощь в расчетах.

### Список литературы

- [1] Туров Е. А., Петров М. П. Ядерный магнитный резонанс в ферро- и антиферромагнетиках. М.: Наука, 1969. 260 с.
- [2] Neworth M. A., Jack K. H., Peacock R. D., Westland G. J. // Acta Cryst. 1957. V. 10. N 1. P. 63—69.
- [3] Котюжанский Б. Я., Прозорова Л. А. // Изв. АН СССР, сер. физ. 1980. Т. 44. № 7. С. 1409—1412.
- [4] Hall T. P. P., Hayes W., Stevenson R. W. H., Wilkens J. // J. Chem. Phys. 1963. V. 38. P. 1977—1985.
- [5] Adam C. D. // J. Phys. C: Sol. St. Phys. 1981. V. 14. P. L105—L109.
- [6] Jacobson A. J., McBride L., Fender B. E. F. // J. Phys. C: Sol. St. Phys. 1974. V. 7. N 4. P. 783—790.
- [7] Murray G. A., Marshall W. // Proc. Phys. Soc. 1965. V. 86. N 555. Pt. 2. P. 315—330.
- [8] Zalesskii A. V., Vanchikov V. V., Krivenko V. G., Ivashchenko A. N. // Phys. St. Sol. 1979. V (a) 54. P. 471—476.
- [9] Петров М. П., Паугурт П. А., Смоленский Г. А. // Письма в ЖЭТФ. 1972. Т. 15. № 6. С. 305—307.
- [10] Wolfe R., Kurtzig A. G., Le Crow R. C. // J. Appl. Phys. 1970. V. 41. P. 1218—1223.
- [11] Дзялошинский И. Е. // ЖЭТФ. 1957. Т. 32. № 6. С. 1547—1562.
- [12] Moriya T. // Phys. Rev. 1960. V. 120. N 1. P. 91—98.
- [13] Keffer F. // Phys. Rev. 1962. V. 126. N 3. P. 896—900.
- [14] Москвич А. С., Бострем И. Г. // ФТТ. 1977. Т. 19. № 9. С. 1616—1626.
- [15] Белов Д. В., Звездин А. К., Кадомцева А. М. и др. // ФТТ. 1981. Т. 23. № 9. С. 2831—2841.
- [16] Писарев Р. В. // ЖЭТФ. 1970. Т. 58. № 4. С. 1421—1426.
- [17] Кадомцева А. М., Бострем И. Г., Ванклин Б. М. и др. // ЖЭТФ. 1977. Т. 72. № 6. С. 2286—2298.
- [18] Ожогин В. И., Якимов С. С., Восканян Р. А., Гамлицкий В. Я. // Письма в ЖЭТФ. 1968. Т. 8. № 5. С. 256—260.
- [19] Звездин А. К., Зорин И. А., Кадомцева А. М. и др. // ЖЭТФ. 1985. Т. 88. № 2. С. 1098—1105.
- [20] Гомонай Е. В., Иванов Б. А., Львов В. А. // Препринт ИТФ-88-129 Р. Киев, 1988.

Уральский государственный  
университет им. А. М. Горького  
Свердловск

Поступило в Редакцию  
17 октября 1989 г.